

**ДИНАМИЧЕСКИЕ ВОЛЬТ-АМПЕРНЫЕ ХАРАКТЕРИСТИКИ  
ФОТОЧУВСТВИТЕЛЬНЫХ СЛОИСТЫХ СТРУКТУР  
НА ОСНОВЕ СИЛЬНО ЛЕГИРОВАННОГО Si(As)**

**С БЛОКИРОВАННОЙ ПРОВОДИМОСТЬЮ ПО ПРИМЕСНОЙ ЗОНЕ**

А. Г. Ждан, А. М. Козлов, Т. А. Костинская,  
Б. Ф. Кочеров, В. В. Рыльков

Институт радиотехники и электроники Российской академии наук, 141120, Фрязино, Россия  
(Получена 11.03.1992. Принята к печати 17.04.1992)

В приближении шоттки-слоев обеднения рассчитаны переходные характеристики тока, протекающего через полупроводниковую фоточувствительную структуру с блокированной проводимостью по примесной зоне (БППЗ) при произвольном законе изменения приложенного к ней напряжения  $V(t)$ . Показано, что наблюдения динамических вольт-амперных характеристик (ДВАХ) БППЗ структур при треугольных сигналах напряжения  $V(t) - \beta t$  ( $\beta = \text{const} \geq 0$ ) позволяют определять основные физические параметры структуры — толщины активного и блокирующего слоев, концентрацию компенсирующей примеси в активном слое, проводимость по примесной зоне, а также идентифицировать присутствие в блокирующем слое избыточного электрического заряда.

В области гелиевых температур ( $T \leq 10$  К) исследованы ДВАХ ( $\beta = \pm 10^{-2}$  В/с)  $n\text{-Si(As)}$  БППЗ структур. При  $T \geq 6$  К ДВАХ квазистационарны. Они согласуются с результатами расчетов и определяются преимущественно процессом перестройки области пространственного заряда (ОПЗ), обедненной положительно заряженными донорами. При  $T \leq 6$  К формирование ОПЗ протекает в существенно нестационарных условиях. В этой ситуации значительную роль играют полевые эффекты, вызывающие разрушение корреляций в пространственном расположении ионизованных доноров и акцепторов и увеличение  $\sigma$ . Учет полевой зависимости  $\sigma$  позволяет удовлетворительно описать экспериментальные ДВАХ и при  $T \leq 6$  К.

В последнее время проявляется заметный интерес к изучению примесной фотопроводимости кремниевых структур с блокированной проводимостью по примесной зоне (БППЗ) [1-4]. Обычно такие структуры получают методом газовой или молекулярно-лучевой эпитаксии. Вначале на выращенной подложке выращивают активный слой легированного слабо компенсированного кремния толщиной  $10 \div 20$  мкм, затем — тонкий блокирующий слой нелегированного кремния толщиной в несколько микрометров, на который наносится омический контакт. Концентрация примеси в активном слое  $\sim 10^{17} \div 10^{18}$  см $^{-3}$ , что составляет  $\sim 10\%$  от критической концентрации, отвечающей переходу Мотта [5]. Большой уровень легирования активного слоя обеспечивает высокую квантовую эффективность при малых размерах примесного фотоприемника, однако при этом в области температур вымораживания примеси проводимость активного слоя, обуславливающая темновой ток, может быть существенной вследствие прыжкового переноса носителей заряда по примесной зоне. Введение блокирующего слоя повышает темновое сопротивление структуры и обеспечивает его значительное уменьшение при фотовозбуждении. Однако в отношении БППЗ структур помимо проблем, характерных для примесных фотоприемников на основе массивного кремния, главная из которых — контроль степени компенсации легирующей примеси [1], возникают существенные задачи контроля параметров структуры, в част-

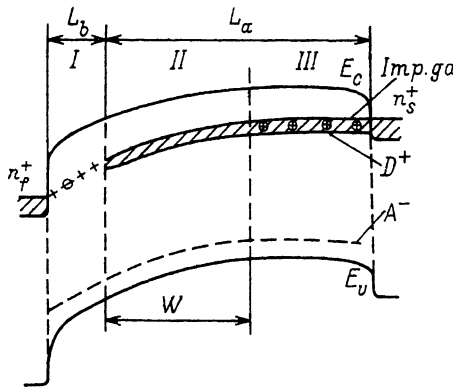


Рис. 1. Зонная диаграмма БППЗ структуры при положительном смещении фронтального контакта. I — блокирующий слой нелегированного кремния, II, III — активный слой; III — область пространственного заряда,  $n_s^+$  — фронтальный,  $n_s^+$  — тыловой контакты;  $D^+$  — положительно заряженные доноры или ваканции,  $A^-$  — отрицательно заряженные акцепторы, ПЗ (I тр. дар) — примесная зона,  $E_c$  — дно зоны проводимости,  $E_v$  — потолок валентной зоны кремния,  $W$  — ширина области пространственного заряда.

ности параметров активного слоя,<sup>1</sup> и изучения явлений переноса в примесной зоне, определяющих быстродействие фотоприемника.

Покажем, что анализ динамических вольт-амперных характеристик (ДВАХ) БППЗ структур позволяет эффективно решать подобные задачи.

Рассмотрим зонную диаграмму структуры во внешнем электрическом поле: для определенности на примере  $n\text{-Si}$  (рис. 1). Потенциал  $V$  контакта к блокирующему слою положителен по отношению к потенциальному тылового контакта — подложки к сильно легированному активному слою, что отвечает рабочему режиму БППЗ фотоприемника. В области пространственного заряда (ОПЗ) (III на рис. 1) доноры в значительной степени нейтрализованы, иными словами, ОПЗ обеднена положительно заряженными донорами вследствие прыжкового переноса носителей заряда в активном слое по примесной зоне (перескоки электронов с нейтральных доноров на вакантные  $N_D^+$ -места, обусловленные присутствием в подложке компенсирующих акцепторных примесей —  $A^-$ -центров). Предполагается, что в блокирующем слое нелегированного кремния могут присутствовать в относительно небольших концентрациях ( $\leq 10^{14} \text{ см}^{-3}$ ) доноры, частично скомпенсированные акцепторами; на рис. 1 это символизируют дискретные знаки + и -. Поэтому на границе между активным и блокирующим слоями фактически отсутствует потенциальный барьер для движения свободных электронов в направлении от области III к области I, так что их накопление у этой границы (т. е. обогащение при поверхностной области полупроводника) невозможно. Будем считать температуру достаточно низкой, чтобы пренебречь в характеристиках для работы БППЗ структур электрических полях  $\sim 10^3 \text{ В/см}$  термополевой и ударной ионизацией доноров, а также проводимостью блокирующего слоя.

Рассмотрим кинетику тока, протекающего через структуру, при изменении приложенного к ней напряжения  $V$ . Пусть в некоторый момент времени  $t$  при напряжении  $V(t)$  в активном слое возникла область, обогенная положительно заряженными донорами, шириной  $W(t)$ . Решая

<sup>1</sup> Имеется в виду область полной нейтрализации легирующей примеси, которая главным образом и обуславливает фоточувствительность приемника.

уравнение Пуассона в приближении шоттки-слоев обеднения,<sup>2</sup> находим связь между  $E_b(t)$ , электрическим полем в блокирующем слое  $E_b(t)$ , полем в электронейтральной области активного слоя  $E_a(t)$  и внешним напряжением  $V(t)$ :

$$E_b(t) = E_a(t) + \frac{4\pi q}{\kappa} N_A W(t), \quad (1)$$

$$W(t) = -L_b + \left\{ L_b^2 + \frac{\kappa}{2\pi q N_A} [V(t) - E_a(t)(L_a + L_b)] \right\}^{1/2}, \quad (2)$$

где  $q$  — элементарный заряд,  $\kappa$  — диэлектрическая проницаемость полупроводника,  $L_a$  и  $L_b$  — толщины активного и блокирующего слоев соответственно. Из условия непрерывности полного тока

$$I = \text{const} = \frac{\kappa}{4\pi} \frac{dE_b}{dt} = \left( \sigma E_a + \frac{\kappa}{4\pi} \frac{dE_a}{dt} \right) S$$

на основе (1) и (2) находим ток

$$I(t) = \frac{\kappa S}{4\pi (L_a + L_b)} \left\{ \frac{dV}{dt} + E_a(t) \frac{4\pi\sigma}{\kappa} [L_a - W(t)] \right\} \quad (3)$$

и уравнение, определяющее электрическое поле в электронейтральной области активного слоя

$$\frac{dE_a}{dt} + \frac{4\pi\sigma (W(t) + L_b) E_a(t)}{\kappa (L_a + L_b)} - \frac{1}{L_a + L_b} \frac{dV}{dt} = 0. \quad (4)$$

Здесь  $S$  — площадь структуры,  $\sigma$  — проводимость по примесной зоне, вообще говоря, зависящая от величины электрического поля  $E_a$  [<sup>5</sup>].

Уравнения (3), (4) и выражение (2) при известной форме сигнала  $V(t)$  позволяют в принципе определить интересующие нас параметры БППЗ структуры по экспериментально измеренной переходной характеристике тока  $I(t)$ . В частности, при линейном законе изменения напряжения  $V = \beta t$  ( $\beta = \text{const}$ ) в простейшем случае, когда времена наблюдения  $t \geq \varepsilon (L_a + L_b) / 4\pi\sigma L_b$ , процесс формирования области пространственного заряда протекает квазистационарно [первый член в уравнении (4) несуществен] и

$$I(t) = \frac{\kappa \beta S}{4\pi [W(t) + L_b]}, \quad (5)$$

где

$$W(t) = -L_b + \left\{ L_b^2 + \frac{\kappa \beta}{2\pi q N_A} t \right\}^{1/2}.$$

Поскольку  $I(t)$  есть не что иное, как емкостной ток через БППЗ структуру, представив зависимость  $I(t) = I(V/\beta)$  в шотткиевых координатах  $I^2 - V$ , мы должны получить прямую линию, наклон которой определит величину  $N_A$ , т. е.

<sup>2</sup> Введение понятия шоттки-слой обеднения обосновывает тот факт, что в рассматриваемом случае примесная зона является по существу аналогом валентной зоны, в которой роль дырок играют вакантные  $N_D$ -места, появляющиеся вследствие присутствия компенсирующей акцепторной примеси (рис. 1).

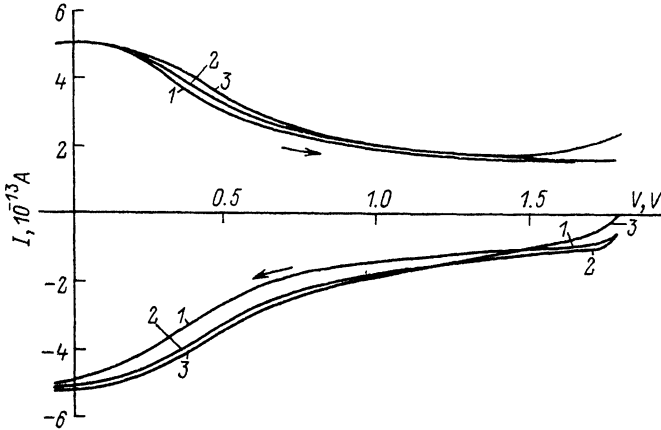


Рис. 2. Динамические вольт-амперные характеристики БППЗ структуры в поддиапазоне «высоких» температур  $T \geq 6$  К при  $\beta = \pm 2.4 \cdot 10^{-2}$  В/с.  $T$ , К: 1 – 6, 2 – 8, 3 – 10. Стрелками указано направление изменения напряжения  $V$ .

концентрацию компенсирующей примеси в активном слое. Очевидно, что при малых  $V$  зависимость  $I^2 - V$  должна выполняться, так как при  $V < 0$  активном слое структуры образуется область, обогащенная  $N_D^+$ -вакансиями, ширина которой вследствие большого уровня легирования активного слоя значительно меньше  $L_b$ . При этом ток  $I$  перестает зависеть от времени, а его величина определяется толщиной блокирующего слоя  $L_b$ :  $I = \kappa\beta S / 4\pi L_b$ .

Интересен также нестационарный случай, в частности отклики структуры при временах наблюдения  $t \sim x(L_a + L_b)/4\pi\sigma L_b$ . В этих условиях, как следует из (3) и (4), форма кривой  $I(t)$  существенно определяется проводимостью по примесной зоне, а величина перепада тока  $\Delta I$  при изменении знака  $\beta$  характеризует величину  $L_a + L_b = x|\beta|S/2\pi\Delta I$  [см. (3)].

Перейдем теперь к анализу экспериментальных ДВАХ БППЗ структур с активным слоем из Si, легированного As с концентрацией  $7 \cdot 10^{17}$  см<sup>-3</sup>. Площадь структур составляла  $7.85 \cdot 10^{-3}$  см<sup>2</sup>. В области температур  $4.2 \div 10$  К на структуру подавались пилообразные сигналы напряжения  $V$  со скоростью нарастания  $\beta \sim \pm 10^{-2}$  В/с и регистрировался переходной ток  $I(t) = I(V)$ . Ток и напряжение измерялись электронными цифровыми вольтметрами Щ-300; на вход измерителя тока сигнал поступал от преобразователя ток—напряжение, собранного на операционном усилителе 544 УД1 с высоким входным сопротивлением. Управление экспериментом, сбор и обработка данных осуществлялись с помощью персональной ЭВМ «Электроника БК 0011»; зависимость  $I(V)$  содержала около 200 экспериментальных точек, причем для увеличения отношения сигнал/шум значения тока в каждой точке усреднялись по 10 измерениям.

По характеру наблюдающихся зависимостей  $I(V)$  исследованный диапазон температур можно разбить на два поддиапазона: «высокотемпературный» ( $T \geq 6$  К) и низкотемпературный ( $T \leq 6$  К). Типичные кривые  $I(V)$  для первого поддиапазона представлены на рис. 2, из которого видно, что изменения температуры слабо сказываются на зависимостях  $I(V)$  — они не обнаруживают существенного гистерезиса при изменении знака  $\beta$  [ср. изотермические кривые при  $\beta > 0$  (вверху) и  $\beta < 0$  (внизу)]. Следовательно, можно заключить, что  $\sigma$  при этих температурах достаточно велика и реализуется квазистационарный режим формирования ОПЗ. При этом зависимость  $I^2 - V$  должна описывать прямую линию, выполняющуюся при малых  $V$ , с наклоном, определяемым величиной  $N_A$  [см. (5) и соответствующий текст]. Эта зависимость приведена

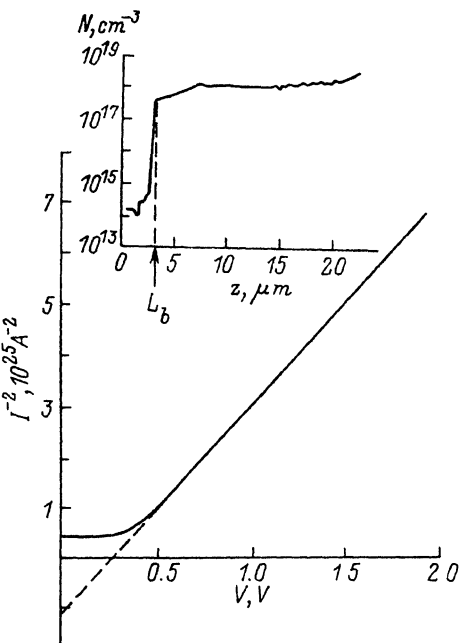


Рис. 3. Зависимость  $I^2$  от  $V$ , построенная по данным рис. 2 для 8 К. На вставке — профиль распределения донорной примеси в БППЗ структуре.

на рис. 3. Видно, что она очень хорошо отвечает указанным представлениям. Найденные по ней величина  $N_A$  и толщина блокирующего слоя  $L_b$  составляют  $8.3 \cdot 10^{12} \text{ см}^{-3}$  и  $3.8 \text{ мкм}$  соответственно. Прямые измерения профиля распределения легирующей примеси в БППЗ структуре, выполненные при ее послойном травлении в электролитической ячейке методом вольт-фарадных характеристик (см. вставку на рис. 3), дают оценку  $L_b = 3.3 \text{ мкм}$  (начало резкого спада зависимости  $\lg N_D - z$ ), удовлетворительно согласующуюся с величиной  $3.8 \text{ мкм}$ . Это дополнительно подтверждает вывод о квазистационарных условиях формирования ОПЗ при  $T \geq 6 \text{ К}$ .

Экстраполируя линейную часть графика  $I^2 - V$  до пересечения с осью

ординат, находим: при  $V < 0.25 \text{ В}$  (в частности, при  $V = 0$ )  $I^2 < 0$ . Этот факт, как легко убедиться, противоречит (5). Противоречие, однако, можно устранить, предположив, что блокирующий слой электрически не нейтрален, т. е. что он содержит избыточный отрицательный заряд  $Q_f$ , обусловленный частичной нейтрализацией ионизированной донорной примеси за счет инъекции из активного слоя. Полагая распределение  $Q_f$  по толщине блокирующего слоя однородным, находим в приближении Шоттки  $W(V) = -L_b + [L_b^2(1 + Q_f/qN_A) + \chi V/2\pi qN_A]^{1/2}$ . Следовательно, с учетом присутствия в блокирующем слое избыточного заряда отсекаемая на оси ординат при  $V = 0$  величина  $I^2|_{V=0} = (4\pi/\kappa S\beta)^2 \times L_b^2(1 + Q_f/qN_A)$ ; при  $Q_f < 0$ , очевидно,  $I^2|_{V=0}$  может быть  $< 0$ . Подставляя в это выражение величину  $I^2|_{V=0}$  и найденные выше значения  $L_b = 3.8 \text{ мкм}$  и  $N_A = 8.3 \cdot 10^{12} \text{ см}^{-3}$ , получаем  $Q_f/q \approx 3 \cdot 10^{13} \text{ см}^{-3}$ . Последняя величина разумно согласуется с предполагаемой концентрацией ионизированных доноров в блокирующем слое:  $Q_f/q < N_D$  ( $N_D \approx 10^{14} \text{ см}^{-3}$ , см. вставку на рис. 3).

Отметим также, что начиная с  $T \geq 10 \text{ К}$  при  $V \geq 1.5 \text{ В}$  (т. е. при среднем электрическом поле в БППЗ структуре  $E > 10^3 \text{ В/см}$ ) ток возрастает с напряжением (рис. 2); это может быть связано, как отмечалось, с термополевой и ударной ионизацией доноров<sup>3</sup> и/или с увеличением проводимости блокирующего слоя.

При  $T < 6 \text{ К}$  характер зависимости  $I(V)$  радикально изменяется. Гистерезис кривых, отвечающих нарастанию и спаду напряжения, непосредственно указывает на нестационарность процессов, протекающих в структуре при изменении напряжения (рис. 4). В этом случае по переходу тока  $\Delta I$ , обусловленному изменением знака  $\beta$ , можно найти величину  $L_a + L_b = \chi |\beta| / 2\pi \Delta I \approx 18 \text{ мкм}$  [см. также (3)]. Эта величина оказывается достаточно близкой к полученной по данным прямых измерений профиля распределения донорной примеси  $L_a + L_b = 22 \text{ мкм}$  (см.

<sup>3</sup> Интересно, что по оценке (3) критическая температура проявления подобных эффектов составляет  $13.5 \text{ К}$ . Эта величина ограничивает сверху рабочую температуру БППЗ фотоприемника на основе Si(As).

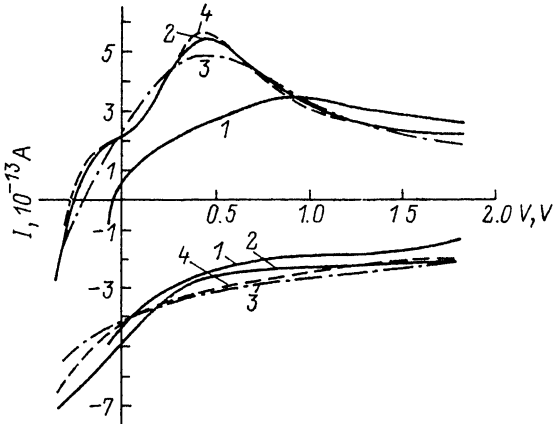


Рис. 4. Динамические вольт-амперные характеристики БППЗ структуры в поддиапазоне низких температур  $T \leq 6$  К при  $\beta = \pm 4.4 \cdot 10^{-2}$  В/с. Т, К: 1 — 4.2, 2 — 5. 3 — зависимость  $I(V)$ , рассчитанная по (3) и (4) для 5 К. 4 — зависимость  $I(V)$ , рассчитанная по (3), (4) с учетом (6) для 5 К.

вставку на рис. 3). Нестационарный случай описывают уравнения (3) и (4). Фигурирующая в них проводимость по примесной зоне  $\sigma$  определяет максвелловское время релаксации  $\tau_m = \kappa / 4\pi\sigma$ , которое нетрудно найти подгонкой по этому единственному параметру расчетной зависимости  $I(V)$  по (3) и (4) к экспериментальной, использовав ранее найденные значения  $L_a + L_b$ ,  $L_b$  и  $N_a$ . Расчетная кривая  $I(V)$  лучше всего описывает экспериментальную при  $\tau_m \approx 3$  с,  $\sigma = \text{const} = 3.5 \cdot 10^{-13}$  Ом<sup>-1</sup> · см<sup>-1</sup> (рис. 4, кривая 3;  $T = 5$  К); максимум зависимости  $I[V(t)]$  отвечает временем наблюдения  $t \approx \tau_m \frac{L_a + L_b}{L_b}$  (см. выше), начиная с которых осуществляется постепенный переход к квазистационарному режиму формирования ОПЗ. Однако вид этих кривых качественно заметно различен: на экспериментальной кривой при  $\beta > 0$  максимум тока предшествует точка перегиба. Это может быть следствием увеличения  $\sigma$  электронейтральной области БППЗ структуры в действующих в эксперименте электрических полях  $E_a$ . Для учета данного обстоятельства будем считать, что  $\sigma$  безынерционно следует за изменением  $E_a$ . Тогда при расчете  $I(V)$  можно по-прежнему использовать уравнения (3), (4). Зависимость  $\sigma(E)$  вычислена в [6]:

$$\sigma(E_a) \approx \sigma_0 \exp \left[ \alpha \sqrt{\frac{4q^3 E_a}{\kappa (kT)^2}} \right], \quad (6)$$

где  $\sigma_0$  — проводимость по примесной зоне в пределе слабого электрического поля,  $k$  — постоянная Больцмана, а  $\alpha = 0.69$  — постоянный коэффициент.<sup>43</sup> Рассчитанная на основе (3), (4), (6) с использованием двух подгоночных параметров  $\tau_m^0 = \kappa / 4\pi\sigma_0$  и  $\alpha$  зависимость  $I(V)$  также представлена на рис. 4 (кривая 4). Очевидно удовлетворительное согласие экспериментальных и расчетных данных как при  $\beta > 0$ , так и при  $\beta < 0$  при  $\tau_m^0 = 35$  с ( $\sigma_0 = 3 \cdot 10^{-14}$  Ом<sup>-1</sup> · см<sup>-1</sup>) и  $\alpha = 0.35$ . Поэтому точку перегиба на экспериментальной зависимости  $I(V)$  следует трактовать как точку перехода от режима релаксации тока  $\sigma = \sigma_0 = \text{const}$  к

<sup>4</sup> Экспериментальные значения  $\alpha$  по данным [6] в 2—3 раза меньше рассчитанного.

режиму релаксации, в процессе которой  $\sigma$  возрастает со временем наблюдения. Таким образом, модель возрастания  $\sigma$  в электрическом поле, основанная на полевом разрушении корреляций ( $I$ -комплексов) в пространственном расположении ионизованных доноров и акцепторов [6], в общем вполне позволяет описать экспериментальные ДВАХ БПЗ структур и в области  $T < 6$  К.

#### СПИСОК ЛИТЕРАТУРЫ

- [1] N. Sclar. Prog. Quant. Electron., 9, 149 (1984).
- [2] F. Szmulowicz, F. L. Madarsz. J. Appl. Phys., 62, 2533 (1987).
- [3] F. Szmulowicz, F. L. Madarsz, J. Diller. J. Appl. Phys., 63, 5583 (1988).
- [4] В. В. Болотов, Г. Н. Камаев, Г. М. Феофанов, В. М. Эмексузян. ФТП, 24, 1697 (1990).
- [5] Н. Мотт, Э. Дэвис. Электронные процессы в некристаллических веществах, 1, 368. М. (1982).
- [6] Д. И. Аладашвили, З. А. Адамия, К. Г. Лавдовский, Е. И. Левин, Б. И. Шкловский. ФТП, 23, 213 (1989).

Редактор Ю. Н. Михалев

---